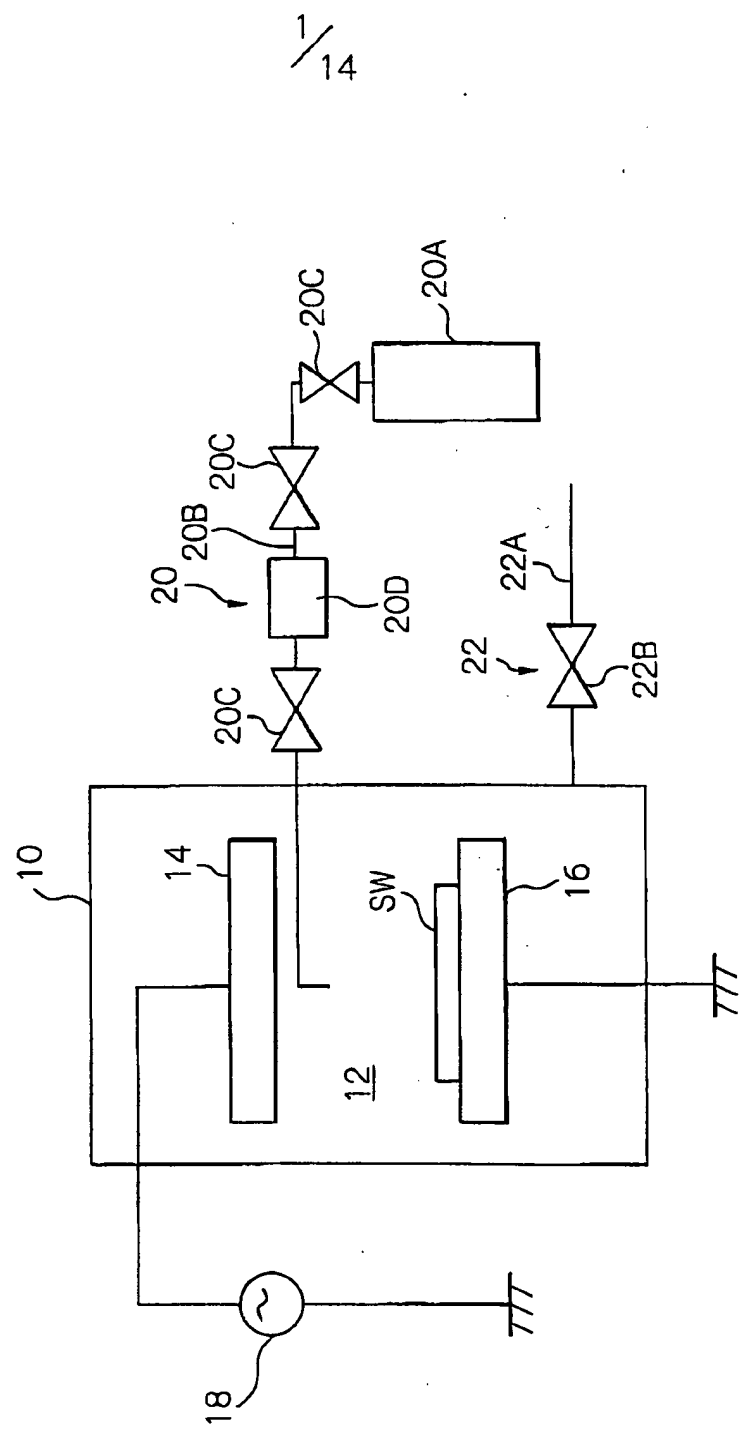


Fig. 1



2/₁₄

Fig. 2A

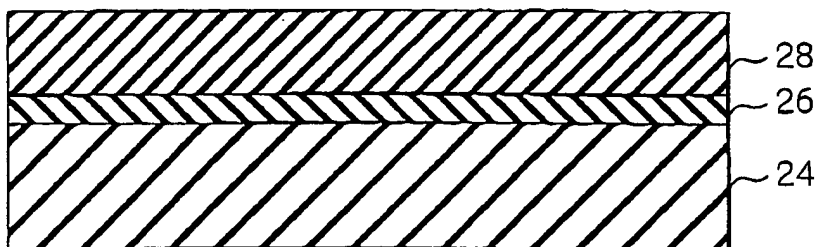


Fig. 2B

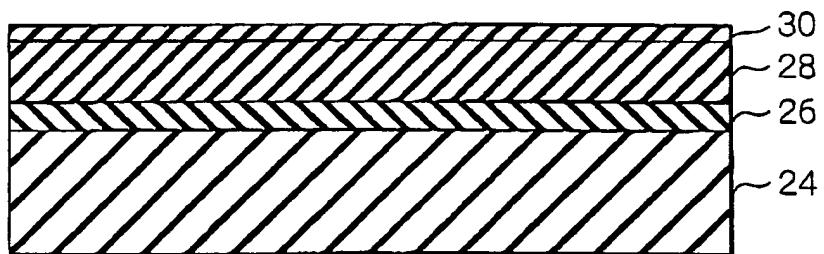


Fig. 2C

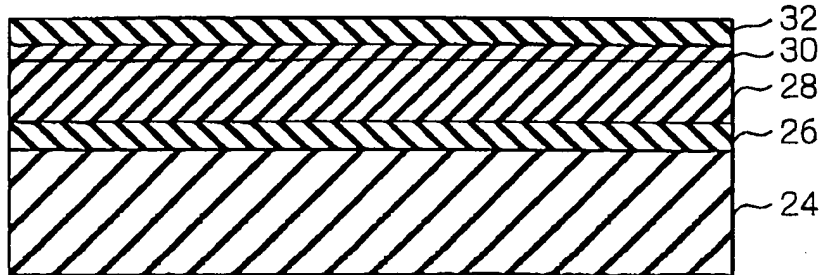


Fig. 2D

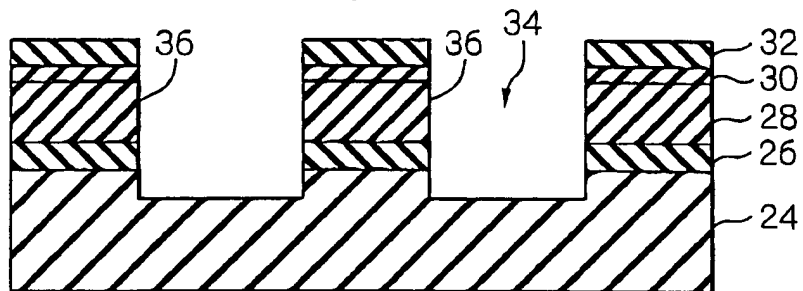


Fig. 2E

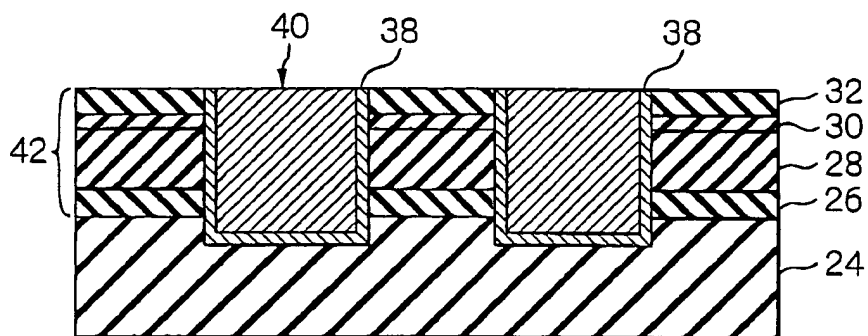
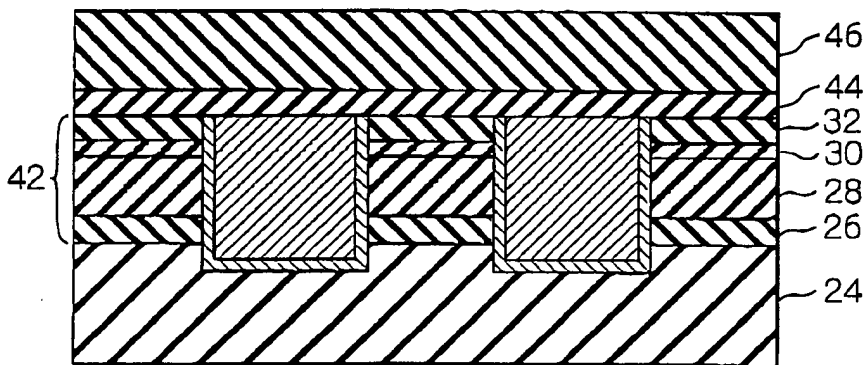


Fig. 2F



4/
14

Fig. 2G

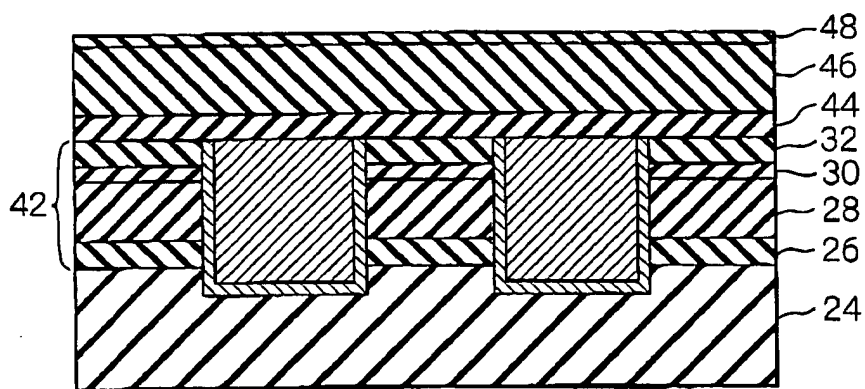


Fig. 2H

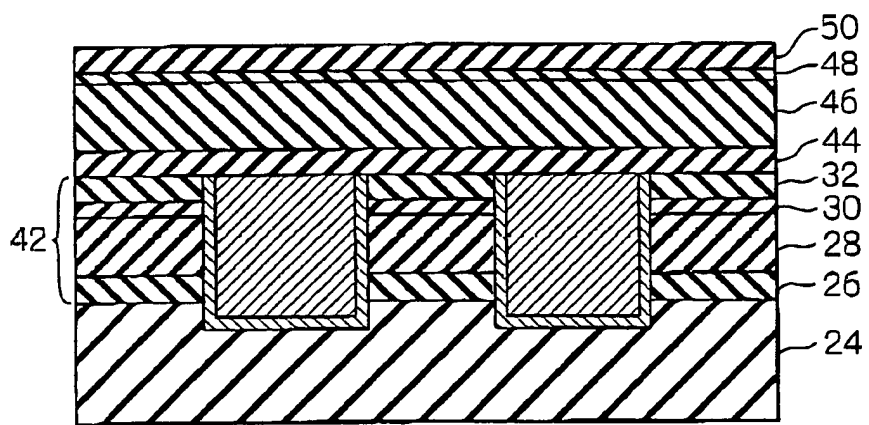


Fig. 2I

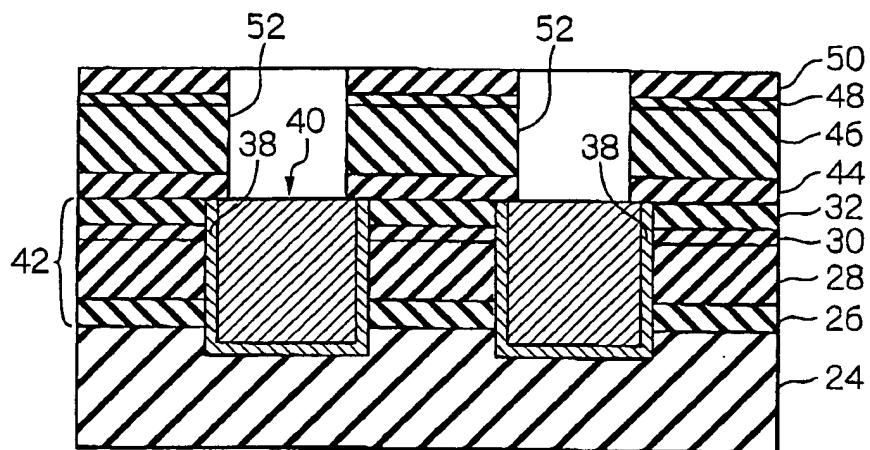


Fig. 2J

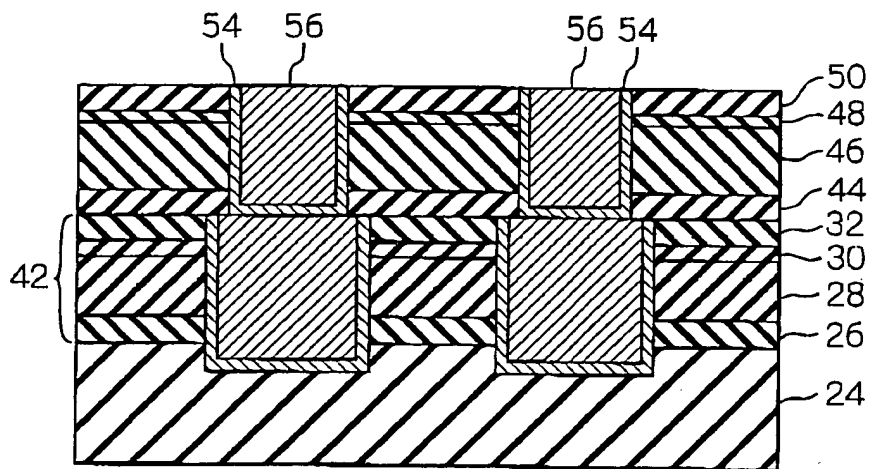


Fig. 2K

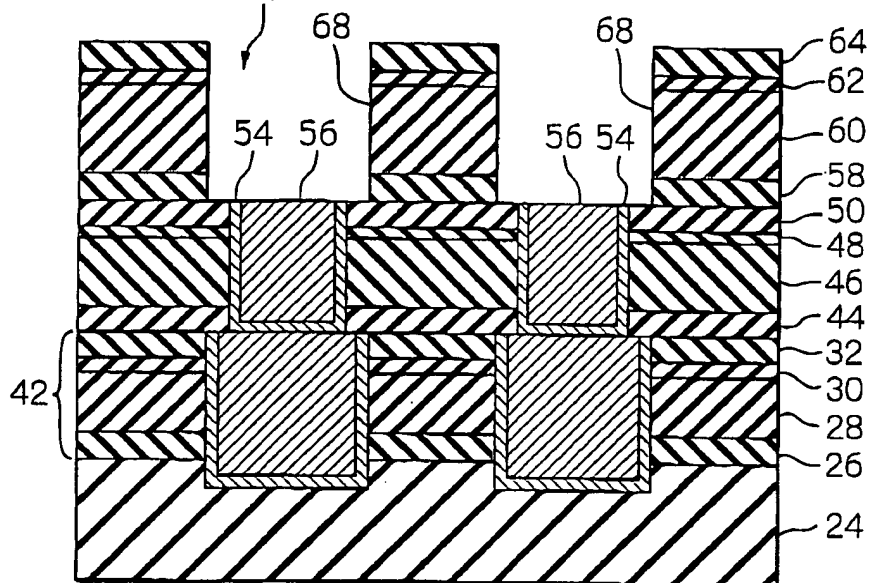
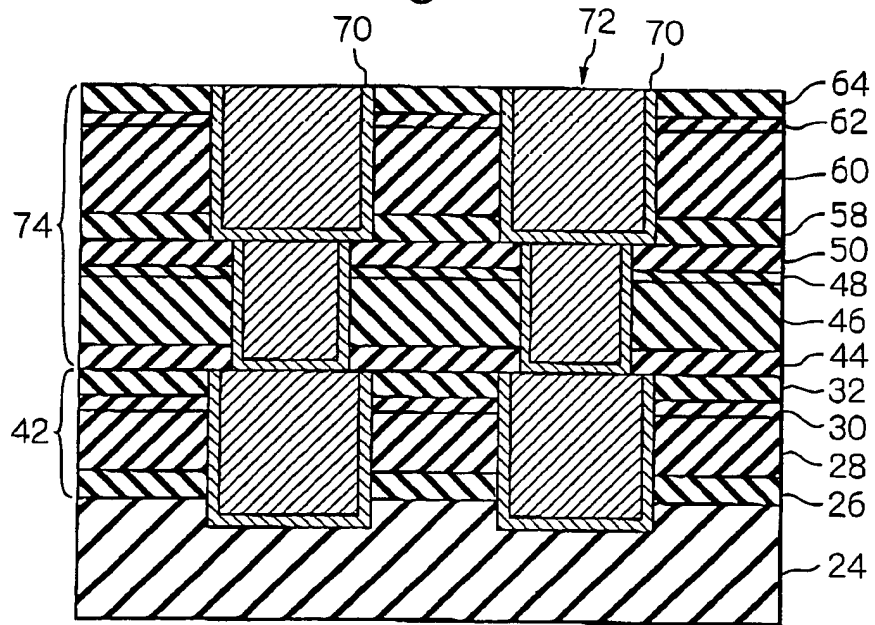


Fig. 2L



7/14

Fig. 3A

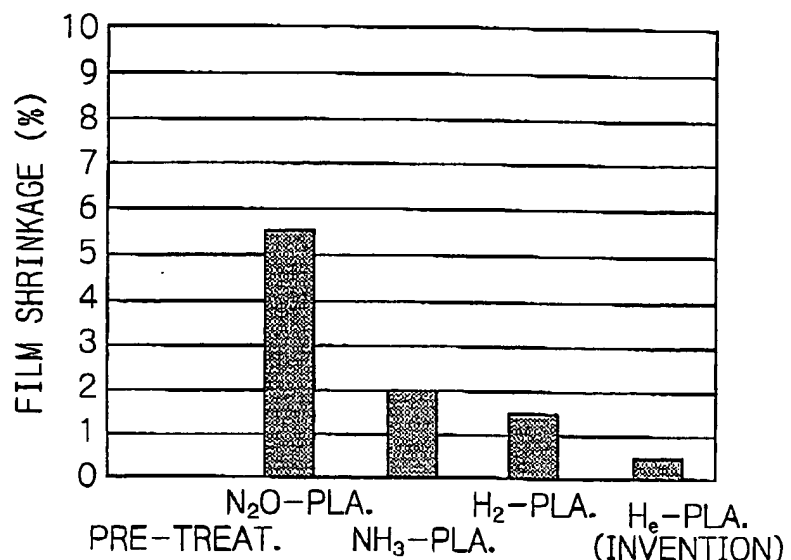


Fig. 3B

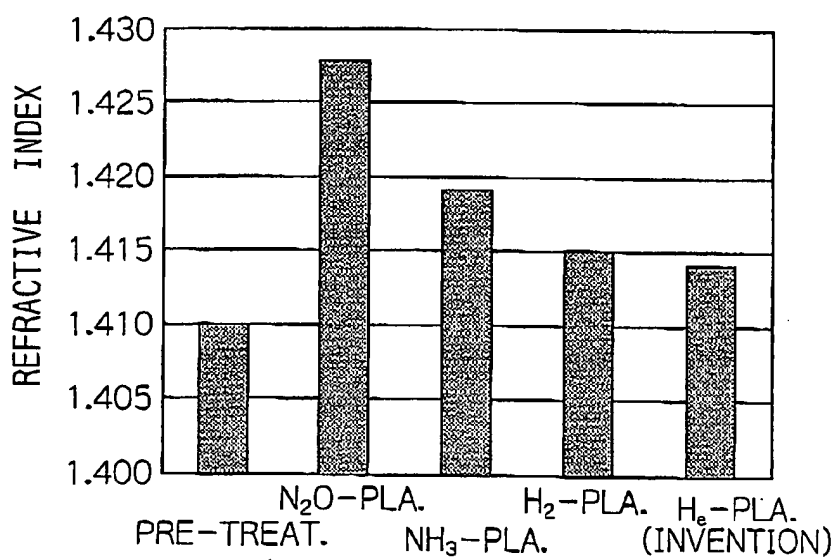


Fig. 3C

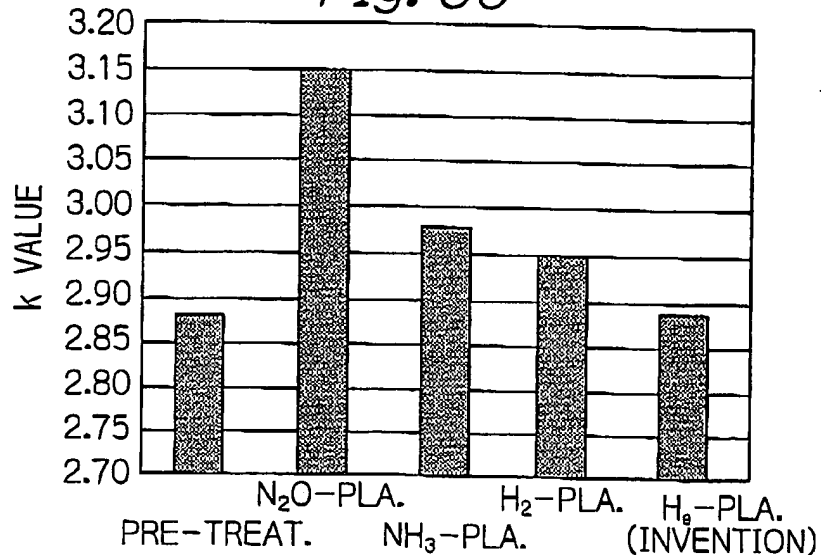
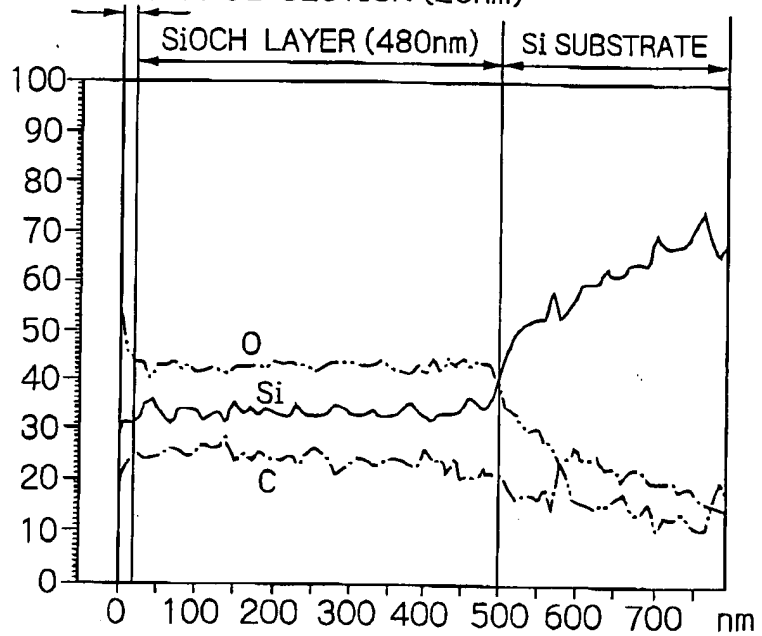


Fig. 4

REFORMED SURFACE SECTION (20nm)



9/14

Fig. 5

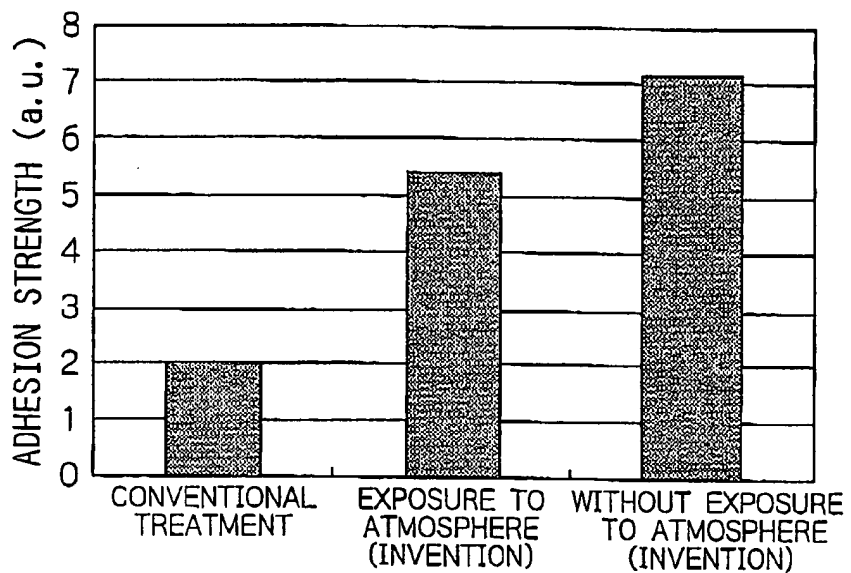


Fig. 6

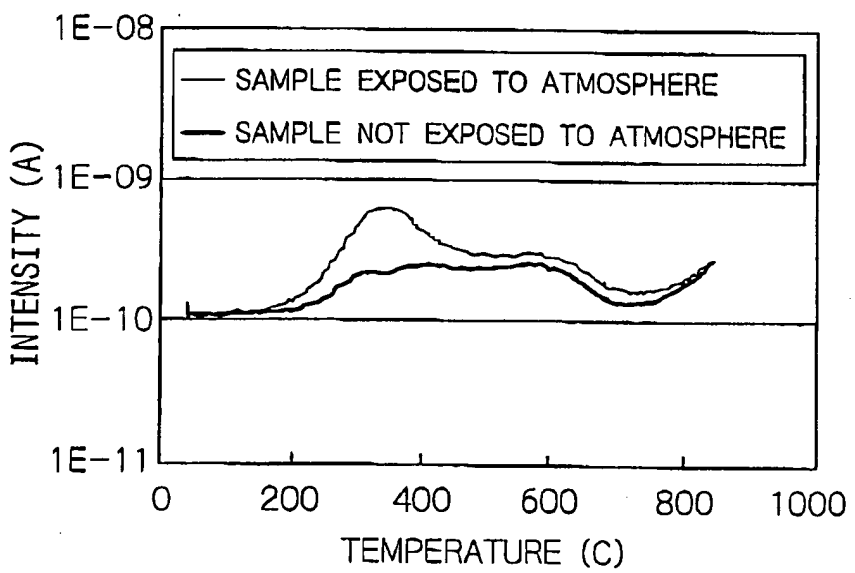
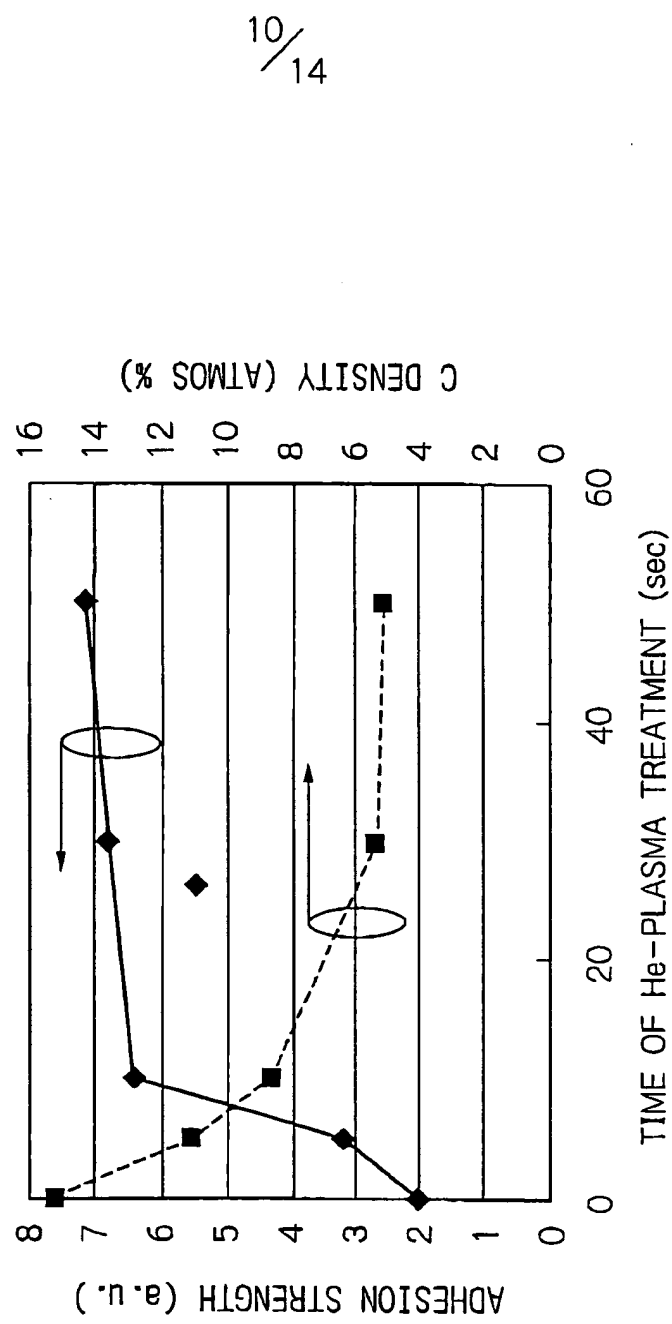


Fig. 7



11/14

Fig. 8A

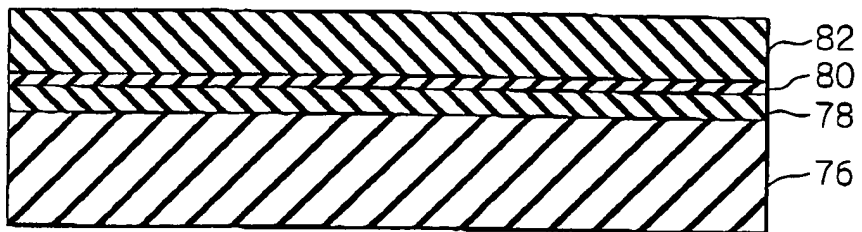


Fig. 8B

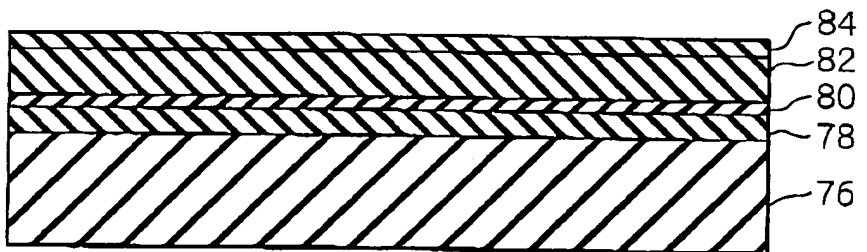
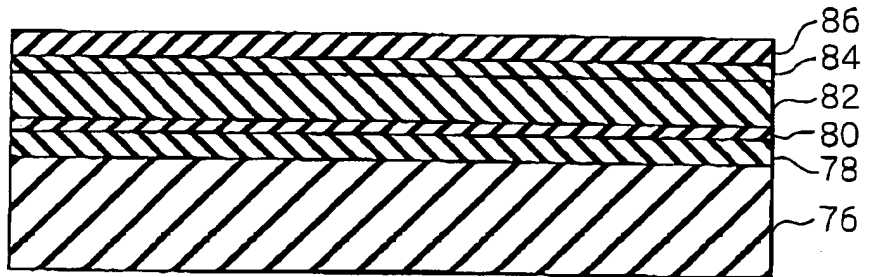


Fig. 8C



12/14

Fig. 8D

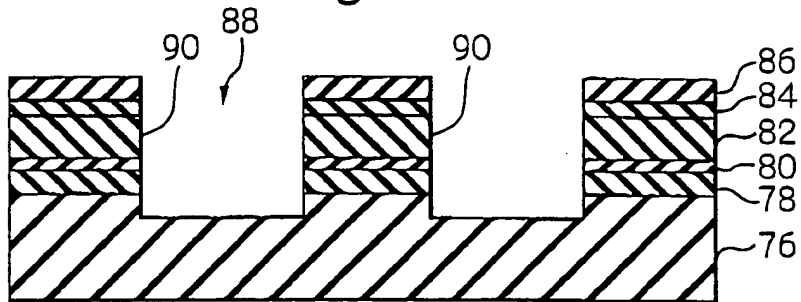


Fig. 8E

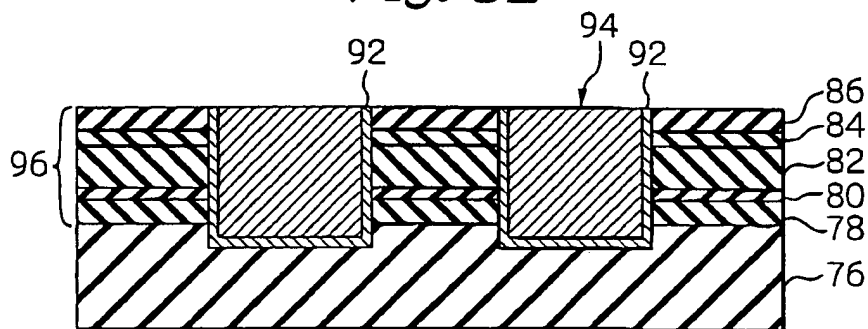
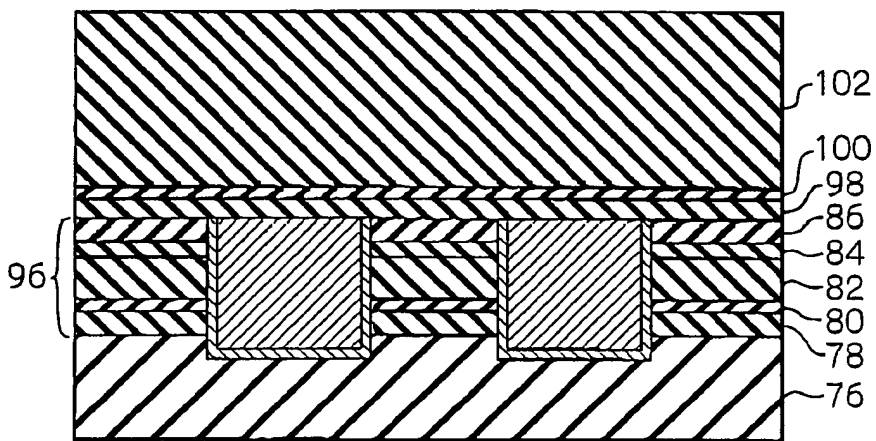


Fig. 8F



13/
14

Fig. 8G

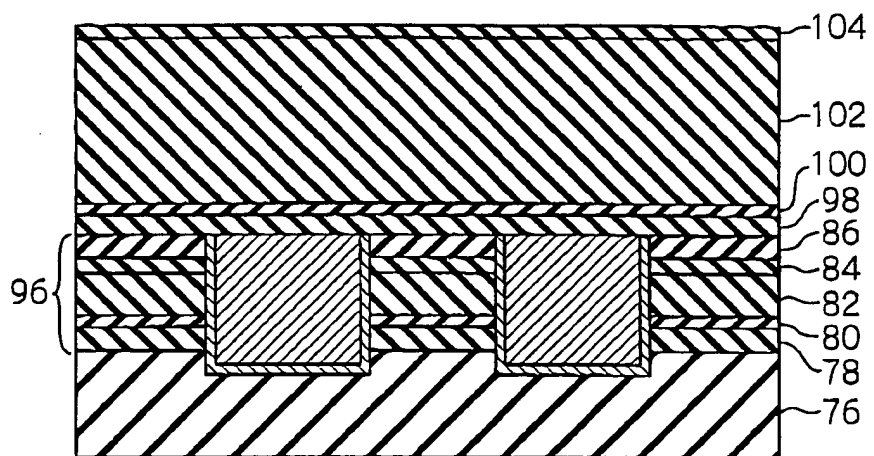
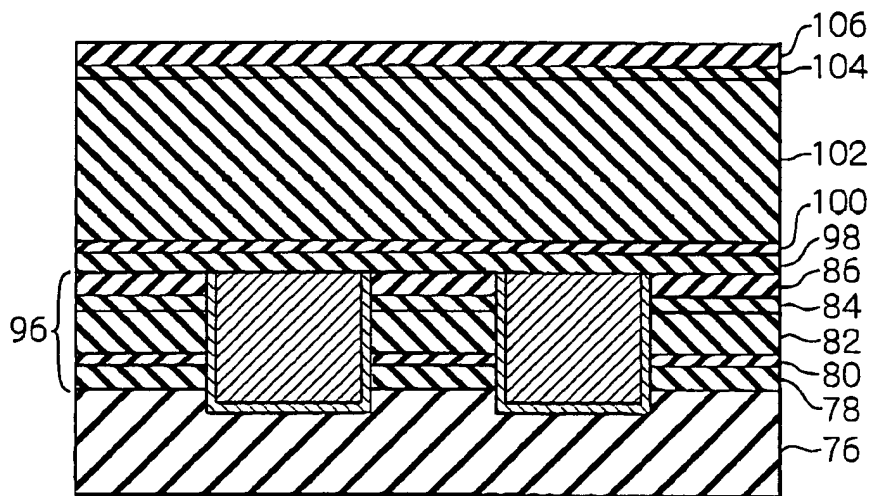


Fig. 8H



14/
14

Fig. 8I

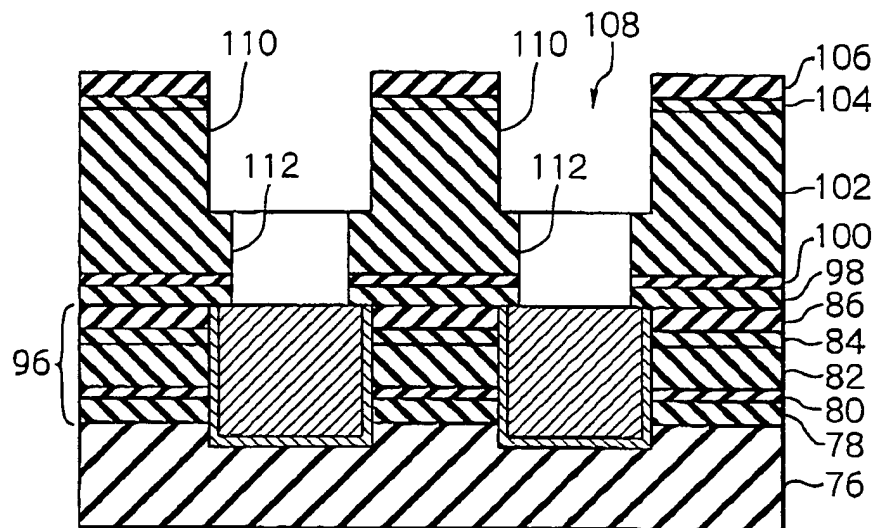


Fig. 8J

